



Министерство науки и высшего образования Российской Федерации
федеральное государственное бюджетное образовательное учреждение
высшего профессионального образования
«Московский государственный технический университет имени
Н.Э. Баумана (национальный исследовательский университет)»
(МГТУ им. Н.Э. Баумана)

ФАКУЛЬТЕТ «Робототехника и комплексная автоматизация»
КАФЕДРА «Системы автоматизированного проектирования (РК-6)»

ОТЧЕТ О ВЫПОЛНЕНИИ ЛАБОРАТОРНОЙ РАБОТЫ по дисциплине «Модели и методы анализа проектных решений»

Студент:	Власенков Кирилл
Группа:	РК6-746
Тип задания:	Лабораторная работа
Название:	Метод конечных элементов
Вариант:	65

Студент

подпись, дата

Власенков К.
Фамилия, И.О.

Преподаватель

подпись, дата

Трудоношин В. А.
Фамилия, И.О.

Оценка:

Москва, 2022

Содержание

Метод конечных элементов	3
1 Цель выполнения лабораторной работы	3
2 Задание	3
3 Аналитическое решение	4
4 Получение локальных матрицы жесткости и вектора нагрузок	4
Линейная функция-формы КЭ	4
Кубическая функция-формы КЭ	5
5 Получение глобальных матрицы жесткости и вектора нагрузок	7
Ансамблирование	7
Учет граничных условий	8
6 Анализ результатов	8
Линейная функция-формы	8
Кубическая функция-формы	11
Нахождение количества линейных КЭ, обеспечивающих ту же точность, что и 20 кубических	14
7 Код	14
8 Вывод	21

Метод конечных элементов

1 Цель выполнения лабораторной работы

Цель выполнения лабораторной работы – решение дифференциального уравнения методом конечных элементов (МКЭ), используя линейную и кубическую функции формы, и анализ точности относительно аналитического способа решения

2 Задание

Решить с помощью МКЭ уравнение **1**

$$22 \frac{d^2 u}{dx^2} - 37 \frac{du}{dx} + 12 = 0, \quad (1)$$

при следующих граничных условиях (г. у.):

$$u'(x = 3) = 5, \quad (2)$$

$$u(x = 90) = 10. \quad (3)$$

Количество конечных элементов

- для первого расчета – 20,
- для второго – 40.

Также необходимо:

1. Сравнить результаты с аналитическим решением. Оценить максимальную погрешность.
2. Определить количество линейных КЭ, обеспечивающих такую же точность как и кубические.

3 Аналитическое решение

На рисунке 1 представлено аналитическое решение поставленной задачи.

The screenshot shows the Wolfram Language interface for solving a differential equation. The input field contains the equation $22y'' - 37y' + 12 = 0$ with initial conditions $y(90) = 10$ and $y'(3) = 5$. The interface displays the following information:

- Input:** $\{22 y''(x) - 37 y'(x) + 12 = 0, y(90) = 10, y'(3) = 5\}$
- Autonomous equation:** $22 y''(x) = -12 + 37 y'(x)$
- ODE classification:** second-order linear ordinary differential equation
- Alternate forms:**
 - $\{37 y'(x) = 22 y''(x) + 12, y(90) = 10, y'(3) = 5\}$
 - $\{y''(x) = \frac{37 y'(x)}{22} - \frac{6}{11}, y(90) = 10, y'(3) = 5\}$
- Differential equation solution:** $y(x) = \frac{2(37(6x - 355) + 1903 e^{(37(x-3))/22} - 1903 e^{3219/22})}{1369}$

Buttons for "Approximate form" and "Step-by-step solution" are visible. The interface is powered by the Wolfram Language.

Рис. 1. Аналитическое решение

Таким образом, получаем:

$$u(x) = \frac{2(37(6x - 355) + 1903 e^{(37(x-3))/22} - 1903 e^{3219/22})}{1369}.$$

4 Получение локальных матрицы жесткости и вектора нагрузок

Составим локальные матрицу жесткости и вектор нагрузок для уравнения 1.

Линейная функция-формы КЭ

$$\mathbf{u} = \left[\left(1 - \frac{x}{L}\right); \frac{x}{L} \right] \begin{bmatrix} u_i \\ u_j \end{bmatrix} = \mathbf{N}_e \mathbf{U},$$

где \mathbf{N}_e – вектор функции формы конечного элемента (в данном случае линейной), его составляющие элементы – глобальные базисные функции, отличные от нуля в пределах этого элемента, L – длина КЭ.

В соответствии с методом Галеркина для уравнения 1:

$$\int_0^L \mathbf{W}_e \left(22 \frac{d^2 \mathbf{u}}{dx^2} - 37 \frac{d\mathbf{u}}{dx} + 12 \right) dx = 0, \quad (4)$$

где $\mathbf{W}_e = \mathbf{N}_e^T$.

$$\int_0^L \mathbf{W}_e \left(22 \frac{d^2 \mathbf{u}}{dx^2} - 37 \frac{d\mathbf{u}}{dx} + 12 \right) dx = 22 \int_0^L \mathbf{W}_e \frac{d^2 \mathbf{u}}{dx^2} dx - 37 \int_0^L \mathbf{W}_e \frac{d\mathbf{u}}{dx} dx + 12 \int_0^L \mathbf{W}_e \mathbf{u} dx = 0$$

Распишем каждое слагаемое отдельно:

$$\begin{aligned} 22 \int_0^L \mathbf{W}_e \frac{d^2 \mathbf{u}}{dx^2} dx &= 22 \int_0^L \left[\left(1 - \frac{x}{L} \right) \right] \frac{d^2 \mathbf{u}}{dx^2} dx = 22 \left[\left(1 - \frac{x}{L} \right) \right] \frac{d\mathbf{u}}{dx} \Big|_0^L - \\ &- 22 \int_0^L \frac{d}{dx} \left[\left(1 - \frac{x}{L} \right) \right] \frac{d}{dx} \left[\left(1 - \frac{x}{L} \right); \frac{x}{L} \right] \begin{bmatrix} u_i \\ u_j \end{bmatrix} = \begin{bmatrix} -22 \frac{d\mathbf{u}}{dx} \Big|_i \\ 22 \frac{d\mathbf{u}}{dx} \Big|_j \end{bmatrix} - 22 \begin{bmatrix} \frac{1}{L}, & -\frac{1}{L} \\ -\frac{1}{L}, & \frac{1}{L} \end{bmatrix} \begin{bmatrix} u_i \\ u_j \end{bmatrix} \\ -37 \int_0^L \mathbf{W}_e \frac{d\mathbf{u}}{dx} dx &= -37 \int_0^L \left[\left(1 - \frac{x}{L} \right) \right] \frac{d\mathbf{u}}{dx} \begin{bmatrix} u_i \\ u_j \end{bmatrix} dx = \\ &= -\frac{37}{L} \int_0^L \begin{bmatrix} \left(1 - \frac{x}{L} \right) & \left(-1 + \frac{x}{L} \right) \\ -\frac{x}{L} & \frac{x}{L} \end{bmatrix} \begin{bmatrix} u_i \\ u_j \end{bmatrix} = -37 \begin{bmatrix} -\frac{1}{2}, & \frac{1}{2} \\ -\frac{1}{2}, & \frac{1}{2} \end{bmatrix} \begin{bmatrix} u_i \\ u_j \end{bmatrix} \\ 12 \int_0^L \mathbf{W}_e dx &= 12 \left[\frac{L}{2} \right] \end{aligned}$$

Таким образом, для уравнения 4, при использовании линейной функции-формы, получаем (матмодель линейного КЭ):

$$\begin{bmatrix} 22 \frac{1}{L} - 37 \frac{1}{2}, & -22 \frac{1}{L} + 37 \frac{1}{2} \\ -22 \frac{1}{L} - 37 \frac{1}{2}, & 22 \frac{1}{L} + 37 \frac{1}{2} \end{bmatrix} \begin{bmatrix} u_i \\ u_j \end{bmatrix} = \begin{bmatrix} -22 \frac{du}{dx} \Big|_i + 12 \frac{L}{2} \\ 22 \frac{du}{dx} \Big|_j + 12 \frac{L}{2} \end{bmatrix}$$

Кубическая функция-формы КЭ

$$\mathbf{u} = \left[-\frac{9x^3}{2L^3} + \frac{18x^2}{2L^2} - \frac{11x}{2L} + 1; \frac{27x^3}{2L^3} - \frac{45x^2}{2L^2} + \frac{9x}{L}; -\frac{27x^3}{2L^3} + \frac{36x^2}{2L^2} - \frac{9x}{2L}; \frac{9x^3}{2L^3} - \frac{9x^2}{2L^2} - \frac{x}{L}; \right] \begin{bmatrix} u_i \\ u_j \\ u_k \\ u_l \end{bmatrix} = \mathbf{N}_e \mathbf{U},$$

Как и для линейной функции-формы применим метод Галеркина (см. уравнение 4) и рассмотрим каждое слагаемое отдельно.

$$\begin{aligned}
22 \int_0^L \mathbf{W}_e \frac{d^2 \mathbf{u}}{dx^2} dx &= 22 \int_0^L \begin{bmatrix} -\frac{9x^3}{2L^3} & + & \frac{18x^2}{2L^2} & - & \frac{11x}{2L} & + & 1 \\ \frac{27x^3}{2L^3} & - & \frac{45x^2}{2L^2} & + & \frac{9x}{L} \\ -\frac{27x^3}{2L^3} & + & \frac{36x^2}{2L^2} & - & \frac{9x}{2L} \\ \frac{9x^3}{2L^3} & - & \frac{9x^2}{2L^2} & - & \frac{x}{L} \end{bmatrix} \frac{d^2 \mathbf{u}}{dx^2} dx = \\
&= 22 \begin{bmatrix} -\frac{9x^3}{2L^3} & + & \frac{18x^2}{2L^2} & - & \frac{11x}{2L} & + & 1 \\ \frac{27x^3}{2L^3} & - & \frac{45x^2}{2L^2} & + & \frac{9x}{L} \\ -\frac{27x^3}{2L^3} & + & \frac{36x^2}{2L^2} & - & \frac{9x}{2L} \\ \frac{9x^3}{2L^3} & - & \frac{9x^2}{2L^2} & - & \frac{x}{L} \end{bmatrix} \frac{d\mathbf{u}}{dx} \Big|_0^L - 22 \int_0^L \frac{d}{dx} \begin{bmatrix} -\frac{9x^3}{2L^3} & + & \frac{18x^2}{2L^2} & - & \frac{11x}{2L} & + & 1 \\ \frac{27x^3}{2L^3} & - & \frac{45x^2}{2L^2} & + & \frac{9x}{L} \\ -\frac{27x^3}{2L^3} & + & \frac{36x^2}{2L^2} & - & \frac{9x}{2L} \\ \frac{9x^3}{2L^3} & - & \frac{9x^2}{2L^2} & - & \frac{x}{L} \end{bmatrix} \frac{d}{dx} \mathbf{u} = \\
&= \begin{bmatrix} -22 \frac{d\mathbf{u}}{dx} \Big|_i \\ 0 \\ 0 \\ 22 \frac{d\mathbf{u}}{dx} \Big|_l \end{bmatrix} - 22 \begin{bmatrix} \frac{37}{10L} & -\frac{189}{40} & \frac{27}{20L} & -\frac{13}{40L} \\ -\frac{189}{40} & \frac{54}{27} & -\frac{40L}{297} & \frac{20L}{54} \\ \frac{20L}{27} & -\frac{40L}{297} & \frac{5L}{54} & -\frac{189}{40} \\ -\frac{13}{40L} & \frac{27}{20L} & -\frac{5L}{40} & \frac{37}{10L} \end{bmatrix} \begin{bmatrix} u_i \\ u_j \\ u_k \\ u_l \end{bmatrix} \\
-37 \int_0^L \mathbf{W}_e \frac{d\mathbf{u}}{dx} dx &= -37 \int_0^L \begin{bmatrix} -\frac{9x^3}{2L^3} & + & \frac{18x^2}{2L^2} & - & \frac{11x}{2L} & + & 1 \\ \frac{27x^3}{2L^3} & - & \frac{45x^2}{2L^2} & + & \frac{9x}{L} \\ -\frac{27x^3}{2L^3} & + & \frac{36x^2}{2L^2} & - & \frac{9x}{2L} \\ \frac{9x^3}{2L^3} & - & \frac{9x^2}{2L^2} & - & \frac{x}{L} \end{bmatrix} \frac{d\mathbf{u}}{dx} dx = \\
&= -37 \begin{bmatrix} -\frac{1}{2} & \frac{57}{80} & -\frac{3}{10} & \frac{7}{80} \\ -\frac{57}{80} & 0 & \frac{81}{80} & -\frac{3}{10} \\ \frac{3}{10} & -\frac{81}{80} & 0 & -\frac{3}{10} \\ -\frac{7}{80} & \frac{3}{10} & -\frac{57}{80} & \frac{1}{2} \end{bmatrix} \begin{bmatrix} u_i \\ u_j \\ u_k \\ u_l \end{bmatrix} \\
12 \int_0^L \mathbf{W}_e dx &= 12 \begin{bmatrix} \frac{L}{8} \\ \frac{3L}{8} \\ \frac{3L}{8} \\ \frac{L}{8} \end{bmatrix}
\end{aligned}$$

Таким образом, для уравнения 4, при использовании кубической функции-формы, получаем:

$$\begin{bmatrix} 22\frac{37}{10L} - 37\frac{1}{2} & -22\frac{189}{40L} + 37\frac{57}{80} & 22\frac{27}{20L} - 37\frac{3}{10} & -22\frac{13}{40L} + 37\frac{7}{80} \\ -22\frac{189}{40L} - 37\frac{57}{80} & 22\frac{54}{5L} + 0 & -22\frac{297}{40L} + 37\frac{81}{80} & 22\frac{27}{20L} - 37\frac{3}{10} \\ 22\frac{27}{20L} + 37\frac{3}{10} & -22\frac{297}{40L} - 37\frac{81}{80} & 22\frac{54}{5L} + 0 & -22\frac{189}{40L} + 37\frac{57}{80} \\ -22\frac{13}{40L} - 37\frac{7}{80} & 22\frac{27}{20L} + 37\frac{3}{10} & -22\frac{189}{40L} + 37\frac{57}{80} & 22\frac{37}{10L} + 37\frac{1}{2} \end{bmatrix}.$$

$$\begin{bmatrix} u_i \\ u_j \\ u_k \\ u_l \end{bmatrix} = \begin{bmatrix} 12\frac{L}{8} - 22\frac{du}{dx}|_i \\ 12\frac{3L}{8} \\ 12\frac{3L}{8} \\ 12\frac{L}{8} + 22\frac{du}{dx}|_l \end{bmatrix} \quad (5)$$

Локальные матрицу жесткости и вектор нагрузок из уравнения 5 с помощью матричных преобразований приведем к следующему виду:

$$\begin{bmatrix} a_{11} & 0 & 0 & a_{14} \\ a_{21} & a_{22} & 0 & a_{24} \\ a_{31} & 0 & a_{33} & a_{34} \\ a_{41} & 0 & 0 & a_{44} \end{bmatrix} \begin{bmatrix} u_i \\ u_j \\ u_k \\ u_l \end{bmatrix} = \begin{bmatrix} b_1 - 22\frac{du}{dx}|_i \\ b_2 \\ b_3 \\ b_4 + 22\frac{du}{dx}|_l \end{bmatrix}$$

Для упрощения расчетов преобразуем систему выше, исключив внутренние узлы. Таким образом СЛАУ (математическая модель кубического КЭ):

$$\begin{bmatrix} a_{11} & a_{14} \\ a_{41} & a_{44} \end{bmatrix} \begin{bmatrix} u_i \\ u_l \end{bmatrix} = \begin{bmatrix} b_1 - 22\frac{du}{dx}|_i \\ b_4 + 22\frac{du}{dx}|_l \end{bmatrix}$$

5 Получение глобальных матрицы жесткости и вектора нагрузок

Проведем процедуры ансамблирования и учет граничных условий для формирования итоговой математической модели.

Ансамблирование

Пусть локальные матрица жесткости и вектор неизвестных заданы следующим образом

$$\begin{bmatrix} a_{11} & a_{12} \\ a_{21} & a_{22} \end{bmatrix} \begin{bmatrix} u_i \\ u_j \end{bmatrix} = \begin{bmatrix} b_1 - 22\frac{du}{dx}|_i \\ b_2 + 22\frac{du}{dx}|_l \end{bmatrix},$$

тогда, при разбиение области на n КЭ, глобальная матрица жесткости будет иметь размерность $(n+1) \cdot (n+1)$:

$$\begin{bmatrix} a_{11}^1 & a_{12}^1 & 0 & \dots & 0 & 0 & 0 & 0 \\ a_{21}^1 & a_{22}^1 + a_{11}^2 & a_{12}^2 & 0 & \dots & 0 & 0 & 0 \\ 0 & a_{21}^2 & a_{22}^2 + a_{11}^3 & a_{12}^3 & 0 & \dots & 0 & 0 \\ 0 & 0 & a_{21}^3 & a_{22}^3 + \dots & & & 0 & 0 \\ \vdots & \vdots & \vdots & \vdots & & & \vdots & \vdots \\ 0 & 0 & 0 & 0 & 0 & 0 & \dots + a_{11}^n & a_{12}^n \\ 0 & 0 & 0 & 0 & 0 & 0 & a_{21}^n & a_{22}^n \end{bmatrix} \begin{bmatrix} u_0 \\ u_1 \\ u_2 \\ u_3 \\ \vdots \\ u_{n-1} \\ u_n \end{bmatrix} = \begin{bmatrix} b_1^1 - 22 \frac{du}{dx} \big|_0 \\ b_2^1 + b_1^2 \\ b_2^2 + b_1^3 \\ b_2^3 + b_1^4 \\ \vdots \\ b_2^{n-1} + b_1^n \\ b_2^n + 22 \frac{du}{dx} \big|_L \end{bmatrix}$$

Учет граничных условий

Применим граничные условия первого (см. [3](#)) и второго рода (см. [2](#)) к выведенной выше системе.

$$\begin{bmatrix} 1 & 0 & 0 & \dots & 0 & 0 & 0 & 0 \\ a_{21}^1 & a_{22}^1 + a_{11}^2 & a_{12}^2 & 0 & \dots & 0 & 0 & 0 \\ 0 & a_{21}^2 & a_{22}^2 + a_{11}^3 & a_{12}^3 & 0 & \dots & 0 & 0 \\ 0 & 0 & a_{21}^3 & a_{22}^3 + \dots & & & 0 & 0 \\ \vdots & \vdots & \vdots & \vdots & & & \vdots & \vdots \\ 0 & 0 & 0 & 0 & 0 & 0 & \dots + a_{11}^n & a_{12}^n \\ 0 & 0 & 0 & 0 & 0 & 0 & 0 & 1 \end{bmatrix} \begin{bmatrix} u_0 \\ u_1 \\ u_2 \\ u_3 \\ \vdots \\ u_{n-1} \\ u_n \end{bmatrix} = \begin{bmatrix} b_1^1 - 22 \cdot 5 \\ b_2^1 + b_1^2 \\ b_2^2 + b_1^3 \\ b_2^3 + b_1^4 \\ \vdots \\ b_2^{n-1} + b_1^n \\ 10 \end{bmatrix}$$

6 Анализ результатов

Проведем сравнение результатов согласно заданию.

Линейная функция-формы

На рисунках [2](#), [3](#) представлены графики полученные с помощью МКЭ (линейная функция-формы).

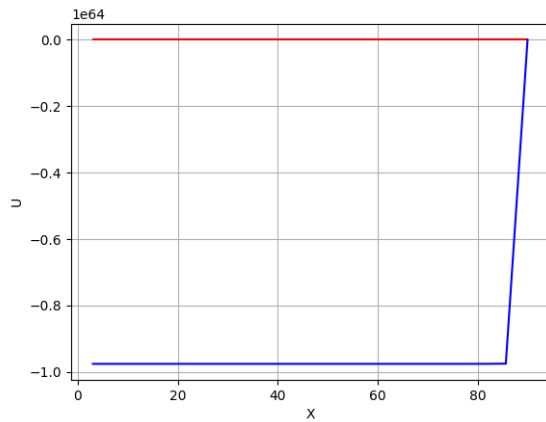


Рис. 2. Результат работы программы для 20 КЭ

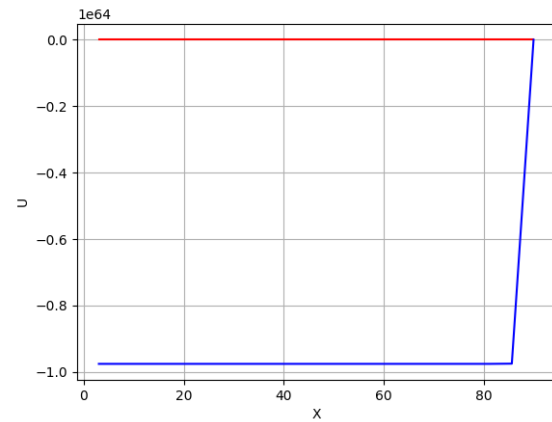


Рис. 3. Результат работы программы для 40 КЭ

Х	Аналитическое решение	МКЭ-решение	Абсолютная погрешность
3.000000e+00	-9.755382e+63	-2.075160e+05	9.755382e+63
7.350000e+00	-9.755382e+63	-2.075222e+05	9.755382e+63
1.170000e+01	-9.755382e+63	-2.075074e+05	9.755382e+63
1.605000e+01	-9.755382e+63	-2.075295e+05	9.755382e+63
2.040000e+01	-9.755382e+63	-2.074869e+05	9.755382e+63
2.475000e+01	-9.755382e+63	-2.075577e+05	9.755382e+63
2.910000e+01	-9.755382e+63	-2.074298e+05	9.755382e+63
3.345000e+01	-9.755382e+63	-2.076500e+05	9.755382e+63
3.780000e+01	-9.755382e+63	-2.072602e+05	9.755382e+63
4.215000e+01	-9.755382e+63	-2.079395e+05	9.755382e+63
4.650000e+01	-9.755382e+63	-2.067451e+05	9.755382e+63
5.085000e+01	-9.755382e+63	-2.088343e+05	9.755382e+63
5.520000e+01	-9.755382e+63	-2.051693e+05	9.755382e+63
5.955000e+01	-9.755382e+63	-2.115882e+05	9.755382e+63
6.390000e+01	-9.755382e+63	-2.003354e+05	9.755382e+63
6.825000e+01	-9.755382e+63	-2.200516e+05	9.755382e+63
7.260000e+01	-9.755382e+63	-1.854959e+05	9.755382e+63
7.695000e+01	-9.755382e+63	-2.460494e+05	9.755382e+63
8.130000e+01	-9.755378e+63	-1.399281e+05	9.755378e+63
8.565000e+01	-9.748896e+63	-3.258974e+05	9.748896e+63
9.000000e+01	0.000000e+00	1.000000e+01	1.000000e+01

Таблица 1. 20 линейных КЭ

Х	Аналитическое решение	МКЭ- решение	Абсолютная погрешность
3.000000e+00	-9.755382e+63	-5.855159e+21	9.755382e+63
5.175000e+00	-9.755382e+63	-5.855159e+21	9.755382e+63
7.350000e+00	-9.755382e+63	-5.855159e+21	9.755382e+63
9.525000e+00	-9.755382e+63	-5.855159e+21	9.755382e+63
1.170000e+01	-9.755382e+63	-5.855159e+21	9.755382e+63
1.387500e+01	-9.755382e+63	-5.855159e+21	9.755382e+63
1.605000e+01	-9.755382e+63	-5.855159e+21	9.755382e+63
1.822500e+01	-9.755382e+63	-5.855159e+21	9.755382e+63
2.040000e+01	-9.755382e+63	-5.855159e+21	9.755382e+63
2.257500e+01	-9.755382e+63	-5.855159e+21	9.755382e+63
2.475000e+01	-9.755382e+63	-5.855159e+21	9.755382e+63
2.692500e+01	-9.755382e+63	-5.855159e+21	9.755382e+63
2.910000e+01	-9.755382e+63	-5.855159e+21	9.755382e+63
3.127500e+01	-9.755382e+63	-5.855159e+21	9.755382e+63
3.345000e+01	-9.755382e+63	-5.855159e+21	9.755382e+63
3.562500e+01	-9.755382e+63	-5.855159e+21	9.755382e+63
3.780000e+01	-9.755382e+63	-5.855159e+21	9.755382e+63
3.997500e+01	-9.755382e+63	-5.855159e+21	9.755382e+63
4.215000e+01	-9.755382e+63	-5.855159e+21	9.755382e+63
4.432500e+01	-9.755382e+63	-5.855159e+21	9.755382e+63
4.650000e+01	-9.755382e+63	-5.855159e+21	9.755382e+63
4.867500e+01	-9.755382e+63	-5.855159e+21	9.755382e+63
5.085000e+01	-9.755382e+63	-5.855159e+21	9.755382e+63
5.302500e+01	-9.755382e+63	-5.855159e+21	9.755382e+63
5.520000e+01	-9.755382e+63	-5.855159e+21	9.755382e+63
5.737500e+01	-9.755382e+63	-5.855159e+21	9.755382e+63
5.955000e+01	-9.755382e+63	-5.855159e+21	9.755382e+63
6.172500e+01	-9.755382e+63	-5.855160e+21	9.755382e+63
6.390000e+01	-9.755382e+63	-5.855157e+21	9.755382e+63
6.607500e+01	-9.755382e+63	-5.855167e+21	9.755382e+63
6.825000e+01	-9.755382e+63	-5.855132e+21	9.755382e+63
7.042500e+01	-9.755382e+63	-5.855253e+21	9.755382e+63
7.260000e+01	-9.755382e+63	-5.854841e+21	9.755382e+63
7.477500e+01	-9.755382e+63	-5.856245e+21	9.755382e+63
7.695000e+01	-9.755382e+63	-5.851452e+21	9.755382e+63
7.912500e+01	-9.755382e+63	-5.867810e+21	9.755382e+63
8.130000e+01	-9.755378e+63	-5.811988e+21	9.755378e+63
8.347500e+01	-9.755215e+63	-6.002485e+21	9.755215e+63
8.565000e+01	-9.748896e+63	-5.352394e+21	9.748896e+63
8.782500e+01	-9.503838e+63	-7.570901e+21	9.503838e+63
9.000000e+01	0.000000e+00	1.000000e+01	1.000000e+01

Таблица 2. 40 линейных КЭ

Максимальная абсолютная погрешность $9.755382e+63$ и $9.755382e+63$ соответственно.

Кубическая функция-формы

На рисунках 4, 5 представлены графики полученные с помощью МКЭ (кубическая функция-формы).

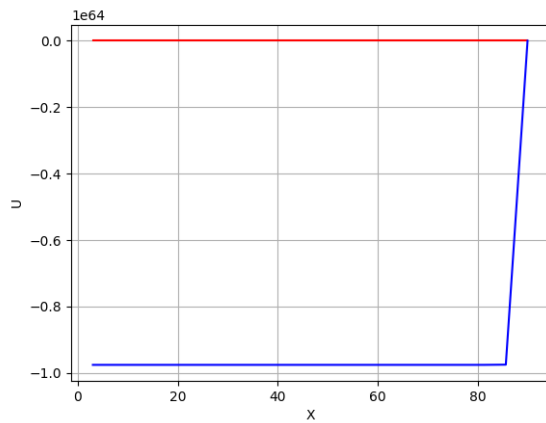


Рис. 4. Результат работы программы для 20 КЭ

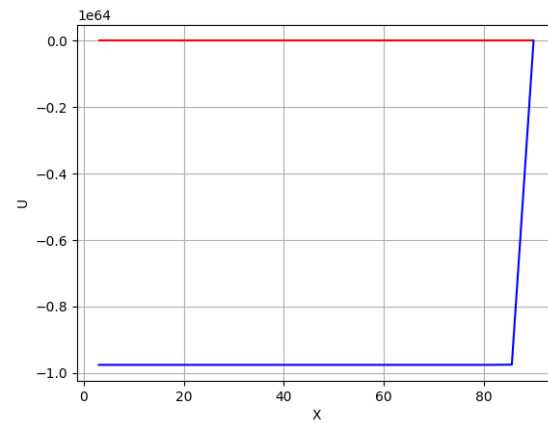


Рис. 5. Результат работы программы для 40 КЭ

X	Аналитическое решение	МКЭ- решение	Абсолютная погрешность
3.000000e+00	-9.755382e+63	3.740690e+17	9.755382e+63
7.350000e+00	-9.755382e+63	3.740690e+17	9.755382e+63
1.170000e+01	-9.755382e+63	3.740690e+17	9.755382e+63
1.605000e+01	-9.755382e+63	3.740690e+17	9.755382e+63
2.040000e+01	-9.755382e+63	3.740690e+17	9.755382e+63
2.475000e+01	-9.755382e+63	3.740690e+17	9.755382e+63
2.910000e+01	-9.755382e+63	3.740690e+17	9.755382e+63
3.345000e+01	-9.755382e+63	3.740690e+17	9.755382e+63
3.780000e+01	-9.755382e+63	3.740690e+17	9.755382e+63
4.215000e+01	-9.755382e+63	3.740690e+17	9.755382e+63
4.650000e+01	-9.755382e+63	3.740690e+17	9.755382e+63
5.085000e+01	-9.755382e+63	3.740690e+17	9.755382e+63
5.520000e+01	-9.755382e+63	3.740690e+17	9.755382e+63
5.955000e+01	-9.755382e+63	3.740690e+17	9.755382e+63
6.390000e+01	-9.755382e+63	3.740690e+17	9.755382e+63
6.825000e+01	-9.755382e+63	3.740691e+17	9.755382e+63
7.260000e+01	-9.755382e+63	3.740677e+17	9.755382e+63
7.695000e+01	-9.755382e+63	3.740984e+17	9.755382e+63
8.130000e+01	-9.755378e+63	3.733822e+17	9.755378e+63
8.565000e+01	-9.748896e+63	3.900976e+17	9.748896e+63
9.000000e+01	0.000000e+00	1.000000e+01	1.000000e+01

Таблица 3. 20 кубических КЭ

X	Аналитическое решение	МКЭ- решение	Абсолютная погрешность
3.000000e+00	-9.755382e+63	1.667357e+16	9.755382e+63
5.175000e+00	-9.755382e+63	1.667357e+16	9.755382e+63
7.350000e+00	-9.755382e+63	1.667357e+16	9.755382e+63
9.525000e+00	-9.755382e+63	1.667357e+16	9.755382e+63
1.170000e+01	-9.755382e+63	1.667357e+16	9.755382e+63
1.387500e+01	-9.755382e+63	1.667357e+16	9.755382e+63
1.605000e+01	-9.755382e+63	1.667357e+16	9.755382e+63
1.822500e+01	-9.755382e+63	1.667357e+16	9.755382e+63
2.040000e+01	-9.755382e+63	1.667357e+16	9.755382e+63
2.257500e+01	-9.755382e+63	1.667357e+16	9.755382e+63
2.475000e+01	-9.755382e+63	1.667357e+16	9.755382e+63
2.692500e+01	-9.755382e+63	1.667357e+16	9.755382e+63
2.910000e+01	-9.755382e+63	1.667357e+16	9.755382e+63
3.127500e+01	-9.755382e+63	1.667357e+16	9.755382e+63
3.345000e+01	-9.755382e+63	1.667357e+16	9.755382e+63
3.562500e+01	-9.755382e+63	1.667357e+16	9.755382e+63
3.780000e+01	-9.755382e+63	1.667357e+16	9.755382e+63
3.997500e+01	-9.755382e+63	1.667357e+16	9.755382e+63
4.215000e+01	-9.755382e+63	1.667357e+16	9.755382e+63
4.432500e+01	-9.755382e+63	1.667357e+16	9.755382e+63
4.650000e+01	-9.755382e+63	1.667357e+16	9.755382e+63
4.867500e+01	-9.755382e+63	1.667357e+16	9.755382e+63
5.085000e+01	-9.755382e+63	1.667357e+16	9.755382e+63
5.302500e+01	-9.755382e+63	1.667357e+16	9.755382e+63
5.520000e+01	-9.755382e+63	1.667357e+16	9.755382e+63
5.737500e+01	-9.755382e+63	1.667357e+16	9.755382e+63
5.955000e+01	-9.755382e+63	1.667357e+16	9.755382e+63
6.172500e+01	-9.755382e+63	1.667357e+16	9.755382e+63
6.390000e+01	-9.755382e+63	1.667357e+16	9.755382e+63
6.607500e+01	-9.755382e+63	1.667357e+16	9.755382e+63
6.825000e+01	-9.755382e+63	1.667357e+16	9.755382e+63
7.042500e+01	-9.755382e+63	1.667357e+16	9.755382e+63
7.260000e+01	-9.755382e+63	1.667357e+16	9.755382e+63
7.477500e+01	-9.755382e+63	1.667357e+16	9.755382e+63
7.695000e+01	-9.755382e+63	1.667357e+16	9.755382e+63
7.912500e+01	-9.755382e+63	1.667357e+16	9.755382e+63
8.130000e+01	-9.755378e+63	1.667356e+16	9.755378e+63
8.347500e+01	-9.755215e+63	1.667339e+16	9.755215e+63
8.565000e+01	-9.748896e+63	1.666541e+16	9.748896e+63
8.782500e+01	-9.503838e+63	1.630472e+16	9.503838e+63
9.000000e+01	0.000000e+00	1.000000e+01	1.000000e+01

Таблица 4. 40 кубических КЭ

Максимальная абсолютная погрешность $9.755382e+63$ и $9.755382e+63$ соответственно.

Нахождение количества линейных КЭ, обеспечивающих ту же точность, что и 20 кубических

Так как очевидно, что при увлечении числа КЭ точность растет, найдем искомое следуя алгоритму, представленному на рисунке 6.

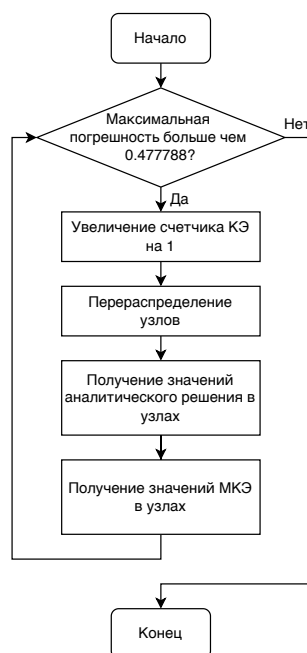


Рис. 6. Алгоритм нахождения количества КЭ, заданную точность

Реализовав данный алгоритм с начальным количеством КЭ=20 и увеличивая счетчик всегда на 1 получаем необходимое количество КЭ, равное 20 .

7 Код

Листинг 1. Реализация МКЭ

```

1
2  #include <iostream>
3  #include <vector>
4  #include <cmath>
5
6  double EPS = 1e-16;
7  double X_BEGIN = 3.0;
8  double X_END = 90.0;
9  size_t ELEMS_NUM = 20;
  
```

```

10 double L = (X_END - X_BEGIN) / ELEMS_NUM;
11
12 double a = 22.0, B = -37.0, C = 0.0, D = 12.0, usl_left = 5.0, usl_right = 10.0; //
    au''+Bu'+Cu+D=0
13
14 std::vector<double> solve_with_gauss(std::vector<std::vector<double>>& A,
    std::vector<double>& b){
15     size_t row_size = A.size();
16     size_t col_size = A.back().size();
17
18     // Прямой ход Гаусса
19     double pivot = 0.;
20     for (size_t i = 0; i < row_size; i++) {
21         for (size_t j = i + 1; j < col_size; j++) {
22             if (std::abs(A.at(j).at(i)) < EPS) {
23                 continue;
24             }
25             pivot = A.at(j).at(i) / A.at(i).at(i);
26             b.at(j) -= pivot * b.at(i);
27             for (size_t k = 0; k < row_size; k++) {
28                 A.at(j).at(k) -= pivot * A.at(i).at(k) ;
29             }
30         }
31     }
32
33     // Обратный ход Гаусса
34     std::vector<double> x(row_size);
35     for (int i = row_size - 1; i >= 0; i--) {
36         x.at(i) = b.at(i);
37         for (size_t j = i + 1; j < row_size; j++) {
38             x.at(i) -= x.at(j) * A.at(i).at(j);
39         }
40         x.at(i) /= A.at(i).at(i);
41     }
42
43     return x;
44 }
45
46 double analytical_solution(double x) {
47     return 2. * (37. * (6. * x - 355) + 1903. * exp(37. * (x - 3.) / 22) - 1903. *
        exp(3219./22.)) / 1369.;
48 }
49
50 std::vector<double> build_analytical_solution(std::vector<double>& x_vec) {
51     size_t x_vec_size = x_vec.size();
52     std::vector<double> y_vec = std::vector<double>(x_vec_size);

```

```

53     for (size_t i = 0; i < x_vec_size; i++) {
54         y_vec.at(i) = analytical_solution(x_vec.at(i));
55     }
56     return y_vec;
57 }
58
59 std::vector<double> build_linear_solution(size_t elems_num) {
60     double L = (X_END - X_BEGIN) / elems_num;
61     size_t size = elems_num + 1;
62     std::vector< std::vector<double> > A(size, std::vector<double>(size));
63     std::vector<double> b(size);
64
65     // Локальная матрица жесткости для линейного КЭ
66     std::vector< std::vector<double> > local_matrix = {
67         { (a / L) + (B / 2.) - C * L / 3., -(a / L) - (B / 2.) - C * L / 6.},
68         { -(a / L) + (B / 2.) - C * L / 6., (a / L) - (B / 2.) - C * L / 3.},
69     };
70
71     // Ансамблирование и получение глобальной матрицы жесткости для линейного КЭ
72     for (size_t i = 0; i < elems_num; i++) {
73         for (size_t j = 0; j < 2; j++) {
74             for (size_t k = 0; k < 2; k++) {
75                 A.at(i + j).at(i + k) += local_matrix.at(j).at(k);
76             }
77         }
78     }
79
80     for (size_t i = 0; i < size ; i++) {
81         b.at(i) = D * L;
82     }
83
84     // Учет ГУ
85     if ( 1 == 1 ) {
86         b.at(0) = D * L / 2. - a*usl_left;
87     } else {
88         b.at(0) = usl_left;
89         A.at(0).at(0) = 1;
90         A.at(0).at(1) = 0;
91     }
92
93     if ( 0 == 1 ) {
94         b.at(size - 1) = D * L / 2. + a*usl_right;
95     } else {
96         b.at(size - 1) = usl_right;
97         A.at(size - 1).at(size - 1) = 1;
98         A.at(size - 1).at(size - 2) = 0;

```



```

99     }
100
101     // Решение полученной СЛАУ методом Гаусса
102     std::vector<double> res = solve_with_gauss(A, b);
103     return res;
104 }
105
106 std::vector<double> build_cube_solution(size_t elems_num) {
107     double L = (X_END - X_BEGIN) / elems_num;
108     size_t size = elems_num + 1;
109     std::vector< std::vector<double> > A(size, std::vector<double>(size));
110     std::vector<double> b(size);
111
112     // Локальная матрица жесткости для кубического КЭ
113     std::vector< std::vector<double> > local_matrix = {
114         { a * 37./(10.*L) + B / 2. + C * 8. / 105. * L, -a * 189./(40.*L) - B * 57./80. +
          C * 33. / 560. * L, a * 27./(20.*L) + B * 3./10. - C * 3. / 140. * L, -a *
          13./(40.*L) - B * 7./80. + C * 19. / 1680. * L},
115         { -a * 189./(40.*L) + B * 57./80. + C * 33./ 560. * L, a * 54./(5.*L) + 0. + C *
          27. / 70. * L, -a * 297./(40.*L) - B * 81./80. - C * 27. / 560. * L, a *
          27./(20.*L) + B * 3./10. - C * 3. / 140. * L},
116         { a * 27./(20.*L) - B * 3./10. - C * 3. / 140. * L, -a * 297./(40.*L) + B *
          81./80. - C * 27. / 560. * L, a * 54./(5.*L) - 0. + C * 27. / 70. * L, -a *
          189./(40.*L) - B * 57./80. + C * 33. / 560. * L},
117         { -a * 13./(40.*L) + B * 7./80. + C * 19./ 1680.* L, a * 27./(20.*L) - B * 3./10.
          + C * 3. / 140. * L, -a * 189./(40.*L) + B * 57./80. + C * 33. / 560. * L, a *
          37./(10.*L) - B * 1./2. + C * 8. / 105. * L}
118     };
119
120     // Локальный вектор нагрузок (дополнительные слагаемые для первого и последнего
       элементов учитываются далее)
121     std::vector<double> local_b = { D * L / 8.0,
122                                     D * 3.0 * L / 8.0,
123                                     D * 3.0 * L / 8.0,
124                                     D * L / 8.0 };
125
126
127     // Производим матричные преобразования для обнуления элементов локальной
       матрицы жесткости, относящихся к внутренним узлам
128     for (size_t i = 1; i < 3; i++) {
129         for (size_t j = 0; j < 4; j++) {
130             if (std::fabs(local_matrix.at(j).at(i)) > EPS && i != j) {
131                 double val = local_matrix.at(j).at(i) / local_matrix.at(i).at(i);
132                 local_b.at(j) -= val * local_b.at(i);
133                 for (size_t k = 0; k < 4; k++) {
134                     local_matrix.at(j).at(k) -= val * local_matrix.at(i).at(k);

```

```

135         }
136     }
137     continue;
138 }
139 }
140
141
142 // Исключаем внутренние узлы из рассмотрения
143 std::vector< std::vector<double> > local_matrix_mod = { { local_matrix.at(0).at(0),
144     local_matrix.at(0).at(3) },
145                                                         { local_matrix.at(3).at(0),
146                                                         local_matrix.at(3).at(3)
147                                                         } } };
148
149 std::vector<double> local_b_mod = { local_b.at(0),
150     local_b.at(3)
151     };
152
153 // Ансамблирование и получение глобальной матрицы жесткости для кубического КЭ
154 for (size_t i = 0; i < elems_num; i++) {
155     for (size_t j = 0; j < 2; j++) {
156         for (size_t k = 0; k < 2; k++) {
157             A.at(i + j).at(i + k) += local_matrix_mod.at(j).at(k);
158         }
159     }
160 }
161
162 for (size_t i = 0; i < elems_num; i++) {
163     b.at(i) += local_b_mod.at(0);
164     b.at(i+1) += local_b_mod.at(1);
165 }
166
167 // Учет ГУ
168 if (1 == 1 ) {
169     b.at(0) = local_b_mod.at(0) - a * usl_left;
170 } else {
171     b.at(0) = usl_left;
172     A.at(0).at(0) = 1.;
173     A.at(0).at(1) = 0.;
174 }
175
176 if (0 == 1 ) {
177     b.at(size - 1) = local_b_mod.at(1) + a * usl_right;
178 } else {
179     b.at(size - 1) = usl_right;
180     A.at(size - 1).at(size - 1) = 1.;
181     A.at(size - 1).at(size - 2) = 0.;

```

```

178     }
179
180     // Решение полученной СЛАУ методом Гаусса
181     std::vector<double> res = solve_with_gauss(A, b);
182     return res;
183 }
184
185 double calc_abs_error(const std::vector<double>& y_real, const std::vector<double>&
    y) {
186     double max_err = 0.0;
187     for (size_t i = 0; i < y_real.size(); i++) {
188         double err = std::fabs(y_real.at(i) - y.at(i));
189         if (err > max_err) {
190             max_err = err;
191         }
192     }
193     return max_err;
194 }
195
196 int main() {
197
198     std::vector<double> x(ELEMS_NUM + 1);
199     for (size_t i = 0; i < x.size(); i++) {
200         x.at(i) = X_BEGIN + i * L;
201     }
202     size_t x_size = x.size();
203
204     std::vector<double> y;
205     if (true) {
206         y = build_linear_solution(ELEMS_NUM);
207     } else {
208         y = build_cube_solution(ELEMS_NUM);
209     }
210     std::vector<double> y_real = build_analytical_solution(x);
211
212
213     FILE* gp;
214     FILE* ab;
215     FILE* pgr;
216     FILE* tab;
217     if (true) {
218         if (ELEMS_NUM == 20) {
219             gp = fopen("res/labs/text/graph/lin_20.txt", "w");
220             ab = fopen("res/labs/text/graph/abs.txt", "w");
221             for (size_t i = 0; i < x_size; i++) {
222                 fprintf(ab, "%lf %lf\n", x.at(i), y_real.at(i));

```

```

223     }
224     pgr = fopen("res/labs/text/pgr/lin_20.txt", "w");
225     tab = fopen("res/labs/text/tab/lin_20.txt", "w");
226 }
227 if(ELEMS_NUM == 40) {
228     gp = fopen("res/labs/text/graph/lin_40.txt", "w");
229     pgr = fopen("res/labs/text/pgr/lin_40.txt", "w");
230     tab = fopen("res/labs/text/tab/lin_40.txt", "w");
231 }
232 } else {
233     if(ELEMS_NUM == 20) {
234         gp = fopen("res/labs/text/graph/cub_20.txt", "w");
235         pgr = fopen("res/labs/text/pgr/cub_20.txt", "w");
236         tab = fopen("res/labs/text/tab/cub_20.txt", "w");
237     }
238     if(ELEMS_NUM == 40) {
239         gp = fopen("res/labs/text/graph/cub_40.txt", "w");
240         pgr = fopen("res/labs/text/pgr/cub_40.txt", "w");
241         tab = fopen("res/labs/text/tab/cub_40.txt", "w");
242     }
243 }
244
245 for (size_t i = 0; i < x.size()-1; i++) {
246     fprintf(tab, "%le & %le & %le & %le \\\n", x.at(i), y_real.at(i), y.at(i),
247         std::fabs(y_real.at(i) - y.at(i)));
248 }
249 fprintf(tab, "%le & %le & %le & %le", x.at(x.size()-1), y_real.at(x.size()-1),
250     y.at(x.size()-1), std::fabs(y_real.at(x.size()-1) - y.at(x.size()-1)));
251
252 for (size_t i = 0; i < x_size; i++) {
253     fprintf(gp, "%lf %lf\n", x.at(i), y.at(i));
254 }
255
256 fprintf(pgr, "%e", calc_abs_error(y_real, y));
257 fclose(gp);
258 fclose(ab);
259 fclose(pgr);
260 fclose(tab);
261
262 return 0;
263 }

```

8 Вывод

В ходе выполнения лабораторной работы был реализован МКЭ для различных функций форм, а также найдено количество линейных КЭ обеспечивающих точность 20ти кубических КЭ.

Постановка: © доцент кафедры РК-6, кандидат технических наук, доцент, Трудоношин В.А.

Решение и вёрстка: © студент группы РК6-74б, Власенков К.

2022, осенний семестр